

مقاله پژوهشی

پیش‌بینی برخی خواص شیمیایی و فیزیکوشیمیایی نمونه‌های برج سفید با استفاده از آنالیز طیفسنجی فروسرخ نزدیک (NIRS)

نصرالله فاضلی بورستان^۱، امیرحسین افکاری سیاح^{۲*}، ابراهیم تقی نژاد^۳، مهدی صفوی^۴

۱. دانشجوی دکتری، گروه مهندسی بیوسیستم، دانشکده کشاورزی و منابع طبیعی، دانشگاه محقق اردبیلی، اردبیل
۲. دانشیار، گروه مهندسی بیوسیستم، دانشکده کشاورزی و منابع طبیعی، دانشگاه محقق اردبیلی، اردبیل
۳. استادیار، دانشکده فناوری کشاورزی و منابع طبیعی مغان، دانشگاه محقق اردبیلی، پارس آباد
۴. استادیار، موسسه پژوهشی علوم و فناوری رنگ و پوшش، تهران

(تاریخ دریافت: ۹۸/۲/۹، تاریخ آخرین بازنگری: ۹۸/۳/۲۶، تاریخ پذیرش: ۹۸/۴/۲۶)

چکیده

خواص شیمیایی و فیزیکوشیمیایی از جمله عوامل بسیار مهم در تعیین ویژگی‌های پخت و فراوری برج محسوب می‌شوند. در این مطالعه، امکان پیش‌بینی میزان آمیلوز (AC)، درجه حرارت ژلاتینه شدن (GT)، حداقل چسبندگی (Min.V) و پسروی چسبندگی (SB.V) از ۱۲۰ نمونه دانه‌های برج رقم دم‌سیاه با استفاده از طیفسنجی فروسرخ نزدیک (NIRS) در ناحیه ۲۵۰۰-۸۰۰ nm انجام گردید. مدل‌های کالیبراسیون توسط رگرسیون چند متغیره با حداقل مربعات جزئی (PLS) توسعه داده شد. AC، GT، Min.V و SB.V گردید. بدروی ۰/۹۷، ۰/۹۳، ۰/۹۷ و ۰/۹۷ به ترتیب با پیش‌پردازش‌های SG+D1، SG+MSC و SG+D1 به ترتیب با R² ۰/۹۵، ۰/۹۵ و ۰/۹۶ به دست آمد. RMSECV برای پارامترهای AC، GT و Min.V و SB.V به ترتیب ۰/۹۲، ۰/۹۵ و ۰/۹۷ به دست آمد. اعتبار هریک از مدل‌های کالیبراسیون به طور آماری ارزیابی شدند. بر اساس نتایج این تحقیق، استفاده از NIRS برای تخمین خواص شیمیایی و فیزیکوشیمیایی نمونه‌های دانه برج مفید است و به کارگیری آن برای پیش‌بینی روشی سریع است.

واژه‌های کلیدی: برج، طیفسنجی فروسرخ نزدیک، حداقل چسبندگی، میزان آمیلوز.

سریع با استفاده از روش NIR انجام نشده است. اسبورنه مدل‌های کالیبراسیون را برای تعیین و پیش‌بینی میزان پروتئین برنج توسعه داد [۱۰]. سیریفولاکول و همکاران تحقیقی در مورد ارزیابی کیفیت روی تکدانه‌های برنج بر اساس روش NIR در محدوده nm ۲۲۲۲–۹۴۰ انجام دادند. آن‌ها نتیجه گرفتند طیف‌سنجی فروسرخ نزدیک به‌طور سریع و با دقت خوبی میزان آمیلوز و خواص کیفی پخت برنج را پیش‌بینی می‌کند [۱۱]. ناتسوگا و کاومورا تحقیقی در مورد تعیین خواص فیزیکو-شیمیایی برنج با استفاده از روش NIR برای پیش‌بینی میزان رطوبت و پروتئین انجام دادند آن‌ها گزارش کردند که نمونه‌های برنج قهوه‌ای و سفید به‌ترتیب دارای $0.96 \geq R \geq 0.87$ هستند [۱۲].

چن و همکاران تحقیقی در مورد تعیین محتوای پروتئین آرد برنج با استفاده از روش NIR در محدوده nm ۲۵۰۰–۱۱۰۰ انجام دادند آن‌ها نتیجه گرفتند که NIR برای پیش‌بینی ترکیبات پروتئین آرد برنج روشی سریع است [۱۳]. همچنین سیریفولاکول و همکاران تحقیقی بر اساس روش NIR در محدوده nm ۲۴۰۰–۱۴۰۰ در مورد نمونه‌های شلتوك برنج برای تعیین حداکثر چسبندگی، فروریختگی و پس‌روی چسبندگی و قوام ژل انجام دادند آن‌ها نتیجه گرفتند که همبستگی بین داده‌ها $R \geq 0.81$ (R) است [۱۴].

باو و همکاران مطالعه‌ای در مورد کاربرد NIRS برای اندازه‌گیری میزان آمیلوز، درجه حرارت چسبندگی، پس‌روی و فروریختگی چسبندگی، ژلاتینی شدن، قوام ژل و خواص بافتی مانند؛ سختی و چسبناکی انجام دادند نتیجه گرفتند برای پارامترهای؛ میزان آمیلوز، پس‌روی و فروریختگی چسبندگی و درجه حرارت چسبندگی $Pred R^2 \geq 0.88$ و برای بقیه پارامترها $Pred R^2 \geq 0.75$ است [۷]. همچنین، راش و میولنت تحقیقی در مورد پیش‌بینی میزان آمیلوز تکدانه و توده برنج با استفاده از NIR انجام دادند نتیجه گرفتند که ضرایب تبیین برای تکدانه و توده برنج به‌ترتیب 0.08 و 0.083 و ریشه میانگین مربعات خطای پیش‌بینی به‌ترتیب $2/33$ و $2/55$ می‌باشد [۱۵].

خواص کیفی شامل خواص شیمیایی و فیزیکو‌شیمیایی یکی از شاخص‌های مهم در خریدوفروش این محصول برای مصرف‌کننده است و اندازه‌گیری آن‌ها در آزمایشگاه‌های صنایع غذایی زمان‌بر و گران‌قیمت هستند، لذا انتظار می‌رود استفاده از روش‌های

برنج یکی از پرصرف‌ترین ماده غذایی برای بیش از نیمی از مردم جهان است. ارزش تجاری برنج، تا حد زیادی بر اساس ویژگی‌های کیفی دانه برنج آسیاب شده تعیین می‌گردد [۱]. لذا کیفیت خوارکی و پخت برنج تأثیر زیادی بر قابلیت پذیرش مصرف‌کنندگان دارد. شاخص‌های کیفی نظری میزان آمیلوز، درجه حرارت ژلاتینه شدن، قوام ژل، میزان پروتئین و خواص چسبندگی هر یک اهمیت زیادی در تعیین کیفیت محصول نهایی برنج دارند [۲]. نشاسته بیش از ۸۰٪ وزن کل ماده خشک برنج سفید را تشکیل می‌دهد، و مهم‌ترین عامل برای تعیین کیفیت محصولات برنج است [۳]. همچنین خواص چسبندگی نشاسته نیز بر کیفیت مواد غذایی تأثیر می‌گذارد [۴]. باو و همکاران تحقیقی در مورد تعیین میزان آمیلوز، خواص چسبندگی و بافت ژل نشاسته برنج توسط NIR انجام دادند. آن‌ها گزارش دادند که اندازه‌گیری پارامترهای فوق در آزمایشگاه صنایع غذایی زمان‌بر و گران‌قیمت بوده و می‌توان از روش‌هایی همچون طیف‌سنجی فروسرخ نزدیک پارامترهای موردنظر را به‌طور سریع تخمین زد [۵].

امروزه تعیین خواص کیفی با استفاده از آنالیز کیفی در آزمایشگاه‌های صنایع غذایی انجام می‌گردد که زمان‌بر و پرهزینه هستند. در حالی که توسعه روش‌های ساده‌تر و ارزان‌تر می‌تواند به تسريع در فرایند خریدوفروش این محصول کمک کند؛ به‌طوری که در برخی محصولات دانه‌ای مانند گندم از سیستم تشخیص تکدانه (SKCS) استفاده می‌شود. گوکووان و همکاران گزارش دادند که روش طیف‌سنجی انعکاسی فروسرخ نزدیک برای اندازه‌گیری ویژگی‌های کیفی به کار می‌رود که به‌طور معمول در غلات مورد آزمایش قرار گرفته شده است. این روش، در مقایسه با روش‌های مخرب دارای مزایایی از جمله آماده‌سازی ساده و سریع، امکان تجزیه در محل و اندازه‌گیری‌های چند جزئی به‌طور هم‌زمان، استفاده مجدد از نمونه‌ها پس از آزمایش و عدم آلودگی زیست‌محیطی [۶] در کشاورزی است. از جمله پارامترهای مهم کیفی برنج را می‌توان به پیش‌بینی میزان آمیلوز [۷، ۸، ۹]، میزان پروتئین [۹] و درجه حرارت ژلاتینه شدن و قوام ژل [۷] اشاره نمود.

تحقیقات زیادی توسط محققین در زمینه NIR گزارش شده، اما تحقیقی در مورد پیش‌بینی برنج ایرانی به‌صورت غیرمخرب و

۲.۲. طیف‌سنجی نمونه‌ها

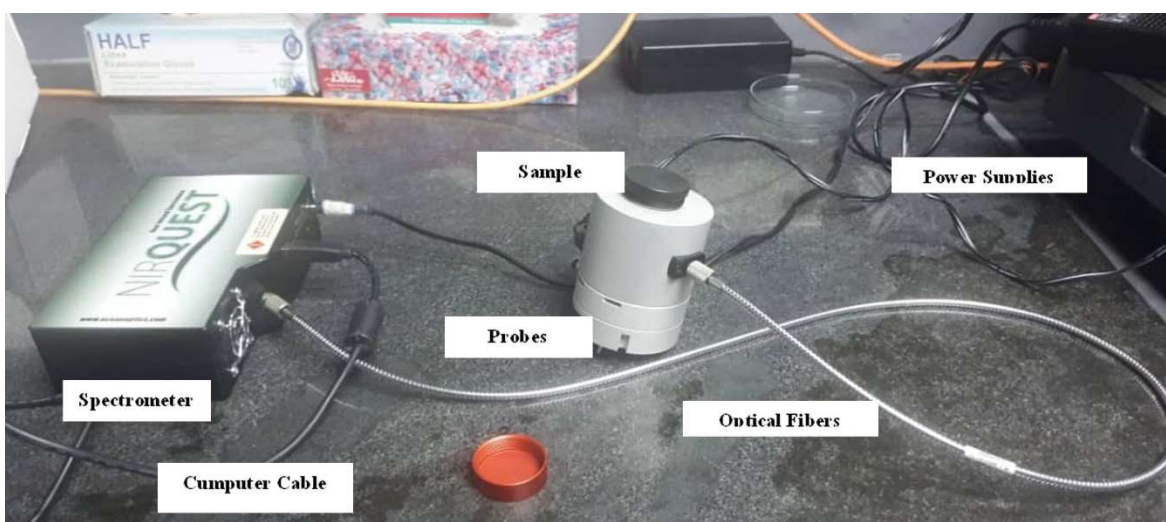
طیف نمونه‌های دانه برنج برای هر نمونه ۵ گرمی [۱۲] با اسپکترومتر (Ocean Optics NIR Quest 256, American) در ناحیه فروسرخ نزدیک در آزمایشگاه فیزیک نور واقع در موسسه پژوهشی علوم و فناوری رنگ و پوشش اندازه‌گیری شد. طیف‌سنج دارای آش-کارساز InGaAs و لا مپ الدهابی Incandensent به عنوان منبع نوری بود. و نمونه‌ها در اثر تماس با پروف استوانه‌ای شکل با تششعع لامپ در داخل آن، نور بازتابش از طریق پروف توسط فیبر نوری به طیف‌سنج ارسال گردید. به طوری که وظیفه دسته‌گاه طیف‌سنج تفک‌یک طول‌موج‌های مختلف بازتابش شده از نمونه‌ها است. نور منعکس شده از سطح نمونه‌ها توسط نرم‌افزار اسپکترومتر Ocean Optics Spectrasuite در مدهای اندازه‌گیری مختلف ۶/۶ nm نمایش داده شد. و تمام داده‌های طیف انعکاسی با فاصله ۱۱۱ nm در ناحیه NIR در محدوده ۲۵۰۰-۸۰۰ nm جمع‌آوری و ثبت شد. مقادیر ۱۲۰ نمونه با سه تکرار برای هر نمونه پس از میانگین‌گیری به عنوان معرف آن ناحیه به طیف جذبی $\log(1/R)$ تبدیل شدند. توسعه مدل‌های کالیبرا سیون بر پایه رگرسیون چند متغیره حداقل مربعات جزئی (PLS) با مجموعه آزمون نمونه‌ها با استفاده از نرم‌افزار CAMO Software, Oslo, Norway انجام شد. چیدمان طیف‌سنجی مورد استفاده شده در شکل (۱) نشان داده شده است.

طیف‌سنجی فروسرخ نزدیک بتواند به توسعه روش‌های ماشینی برای تعیین کیفیت دقیق و سریع دانه‌های برنج کمک کند. به طوری که به توان به صورت غیر مخرب و سریع کیفیت برنج را پیش‌بینی کرد. بائو و همکاران بیان نمودند که در انتخاب کیفیت برنج مقدار پس‌روی چسبندگی اهمیت بیشتری نسبت به دیگر پارامترهای خواص چسبندگی دارد [۱۷]؛ بنابراین برای پیش‌بینی برخی خواص کیفی از جمله میزان آمیلوز، درجه حرارت ژلاتینه شدن و برخی خواص فیزیکوشیمیابی شامل حداقل چسبندگی و پس‌روی چسبندگی که اهمیت زیادی در تعیین کیفیت برنج دارند با استفاده از روش طیف‌سنجی در ناحیه فروسرخ نزدیک، از دانه‌های برنج سفید رقم دم‌سیاه استفاده شد.

۳. مواد و روش‌ها

۱.۲. آماده‌سازی نمونه

به مقدار کافی نمونه‌های توده برنج رقم دم‌سیاه به طور مستقیم از مزرعه تحقیقات برنج کشور واقع در شهرستان رشت تهیه شد. برای تعیین رطوبت اولیه شلتوك با قرار دادن سه نمونه ۱۵ گرمی درون آون با دمای 130°C به مدت ۲۰ h [۱۶] استفاده شد. رطوبت اولیه شلتوك ۱۵٪ بر پایه‌تر به دست آمد. سپس برای پایین آوردن سطح رطوبتی جهت عملیات فراوری، شلتوك‌ها به صورت لایه‌نمازک با دمای 35°C توسط خشک‌کن آزمایشگاهی خشک و در شرایطی یکسان تحت عملیات پوست‌کنی و آسیاب قرار گرفتند.



شکل (۱) چیدمان طیف‌سنجی نمونه‌های دانه برنج
Fig. 1. Spectrophotometric layout of rice grain samples

کاهش نویز بهره‌گیری شد. برای از بین بردن عوامل مزاحم مانند فاصله نمونه با آشکارساز و تغییر اندازه نمونه‌ها از تصحیح پراکنش افزاینده [۱۳] و برای هموارسازی با استفاده از الگوریتم ساویتزکی-گولای با تعداد نقطه‌های همسایگی و درجه چندجمله‌ای به ترتیب برابر با ۳ و ۲ و به منظور افزایش قدرت تفکیک طیفی و آشکار کردن پیک طیفها، حذف پس زمینه و جایه‌جایی خط پایه از مشتق اول و دوم ساویتزکی-گولای استفاده شد [۲۰]. ابتدا، نمونه‌های پرت داده‌های طیفی شامل ۳ نمونه با بهره‌گیری از روش تجزیه مؤلفه‌های اصلی (PCA) مشخص و حذف شدند. نمودار پراکندگی نمونه‌های آزمایش‌های خواص کیفی با کمک نرم‌افزار Excel تهیه و مشخص شد که نمونه‌ها دارای داده‌های پرت نمی‌باشند. سپس نمونه‌های باقی‌مانده به صورت تصادفی به دو دسته؛ کالیبراسیون شامل ۷۵٪ نمونه‌ها یعنی ۸۸ نمونه و اعتبار سنجی شامل ۲۵٪ نمونه‌ها باقی‌مانده معادل ۲۹ نمونه به ترتیب برای تدوین مدل کالیبراسیون و پیش‌بینی تقسیم شدند. به منظور ایجاد ارتباط بین خواص کیفی اندازه‌گیری شده به عنوان متغیرهای وابسته و داده‌های طیفی به عنوان متغیرهای مستقل از روش‌های مدل‌سازی رگرسیون PLS استفاده گردید [۱۳]. بدلیل ایجاد نویز در ابتدا و انتهای محدوده طیفی، از ناحیه طیفی ۴۰۰-۶۰۰ nm استفاده شد.

برای بررسی عملکرد مدل، از داده‌های اعتبارسنجی و مقایسه خروجی مدل با داده‌های آزمایشگاهی استفاده شد. همچنین برای مقایسه مدل‌های مختلف از پارامترهای آماری شامل؛ ضریب تعیین (R^2)، ریشه میانگین مربعات خطای پیش‌بینی (RMSEP)، ریشه میانگین مربعات خطای کالیبراسیون (RMSEC) و شاخص (SDR) استفاده گردید. SDR عبارت است از نسبت مقادیر انحراف استاندارد (SD) به RMSECV که ارزیابی بهتری از عملکرد مدل ارائه می‌دهد [۲۱، ۱۳] در این تحقیق انتخاب مدل بهینه از مدل‌های تدوین شده برای پیش‌بینی خواص کیفی برآورد پایه RMSEP و RMSEC کمتر و R^2 و SDR بالاتر انجام شد [۲۱، ۱۳].

۳. نتایج و بحث

۳.۱. خواص شیمیایی و فیزیکوشیمیایی برنج تعداد نمونه، کمینه، بیشینه، میانگین و انحراف معیار در دو دسته

۳.۲. تعیین خواص کیفی در این تحقیق از برخی خواص کیفی شامل ویژگی‌های شیمیایی شامل میزان آمیلوز (AC) و درجه حرارت ژلاتینی شدن (GT) و فیزیکوشیمیایی نشاسته دانه‌ها شامل حداقل چسبندگی (Min.V) و پس‌روی چسبندگی (SB.V) استفاده شد. میزان آمیلوز با استفاده از روش کالری متریک در طول موج ۶۲۰ nm با تشکیل کمپلکس ید-نشاسته تعیین شد [۱۷]. برای تعیین درجه حرارت ژلاتینی شدن از روش لیتل استفاده شد [۱۸]، که در این روش ۶ دانه کامل برنج سفید در داخل پتربیدیش قرار داده شد و مقدار ۱۰ mL ۱۰ میلی‌لیتر هیدروکسید پتاسیم ۷/۱٪ به آن اضافه گردید و سپس نمونه‌ها در داخل آون در دمای ۳۰ درجه سلسیوس به مدت ۲۳ h قرار داده شد. تغییرات نشاسته به صورت نمره ۱-۷ مشخص گردید. در هنگام ارائه گزارش اعداد ۱-۳ درجه حرارت ژلاتینی بالا، ۴-۵ متوسط و ۶-۷ درجه حرارت ژلاتینی شدن پایین معرفی گردید. برای اندازه‌گیری خصوصیات فیزیکوشیمیایی نشاسته دانه‌ها، نمونه‌ها پس از تبدیل به برنج سفید با استفاده از آسیاب سیکلونی UDY، ساخت آمریکا در حد مش ۱۰۰ آرد شدند سپس از هر نمونه ۳ g وزن گردید و مقدار ۲۵ mL آب مقطر به آن اضافه شد سپس داخل استوانه فلزی Dستگاه راپید ویسکو آنالایزر (RVA-3D Model, Newport (Scientific, Sydney, Australia) قرار داده شد [۱۹]. Dستگاه طوری تنظیم شد که در ۱۰ ثانیه اول با سرعت ۹۶۰ دور بر دقیقه شروع به کار کرد سپس سرعت آن در ۱۶۰ دور بر دقیقه ثابت گردید. درجه حرارت اولیه Dستگاه نیز روی 50°C تنظیم شد. برای اندازه‌گیری خصوصیات چسبندگی نمونه‌ها، برنامه دمایی Dستگاه در مدت ۱۲ min تنظیم شد. این برنامه شامل دماهای مختلف Dستگاه در بازه‌های زمانی متفاوت فرایند آزمایش می‌باشد [۲۵]. نتیجه آزمایش یک منحنی بود که تغییرات ویسکوزیته نمونه را در تغییرات دمایی پخت نشان داد.

۴. آنالیز داده‌ها

برای از بین بردن نویزهای تصادفی در طیف لازم بود از فیلترهای مناسب استفاده شود. این نویزها با تولید اطلاعات غیرمفید موجب ایجاد مدل رگرسیونی نامناسب بین طیف‌های مورداندازه‌گیری می‌شوند [۱۴]. به منظور آماده‌سازی و پیش‌پردازش طیف‌ها، از ترکیب روش‌های مختلف هموارسازی و

۲۴۰۰-۹۰۰ nm در شکل (۲) نشان داده شده است. مطابق شکل (۱) طیف‌های NIR تشکیل شده است از نوارهای گسترده طیفی که باعث جذب‌های همپوشانی مشابهی می‌شود که عمدتاً به روش اورتون‌ها و ترکیبات ارتعاشی شامل پیوندهای شیمیابی O-H, C-H & N-H هستند [۲۷، ۲۸]. در این شکل پیک‌های جذبی مشخص در اطراف طول موج‌های ۲۰۹۴، ۱۹۴۰، ۱۷۵۰، ۱۵۷۳، ۱۴۵۶ nm وجود دارند. که آن‌ها را می‌توان به ترتیب ناشی از اورتون‌های دوم O-H یا NH₂ [۲۹]، اورتون دوم C-H, CH₂ یا CH₃ [۲۹]، اورتون اول O-H یا NH₂ [۲۹]، اورتون اول O-H یا N-H [۱۰]، اورتون اول C-O [۱۰]، اورتون دوم O-H [۱۳]، اورتون دوم O-H یا O-H deformation [۱۰] و اورتون اول ترکیبات N-H [۱۰] دانست. همچنین طیف جذبی در اطراف طول موج‌های ۱۴۵۷ و ۱۹۳۸ nm نشاسته برنج نشاسته است. و طیف جذب ۱۹۰۰ nm یک اثرانگشتی از اورتون دوم پیوند C=O نشاسته (-CO₂H) و (+2×O-H deformation) باشد [۳۰]. درنتیجه می‌توان پیک‌های جذبی در اطراف طول موج‌های ۱۴۵۷ و ۱۹۳۸ را به نشاسته برنج نسبت داد.

طیف‌های جذبی NIR نمونه‌ها پس از هموارسازی با MA و SG از مشتق اول و دوم بر پایه الگوریتم SG استفاده شد که سبب آشکار شدن پیک‌های جذبی ضعیف در ناحیه طیفی ۲۵۰۰ nm شدند [۲۰]. همچنین به کارگیری MSC باعث نزدیکی طیف‌ها به یکدیگر و وضوح تفاوت طیف‌ها در محل طیف‌های جذبی شد [۱۳].

کالیبراسیون و اعتبار سنجی در نمونه‌های دانه برنج در جدول (۱) نشان داده شده است. به طور معمول ارقامی با AC متوسط (۲۰-۲۵٪) و نمره ژلاتینی شدن متوسط (۳-۵) دارای کیفیت پخت مطلوبی دارند به طوری که برنج با AC بالا بعد از پخت می‌تواند نرم یا سخت باشد این اختلاف به قوام ژل برنج بستگی دارد [۲۲]. میانگین AC رقم دم‌سیاه در محدوده متوسط (۲-۲۵٪) قرار دارد [۲۵]. AC با V. Min همبستگی منفی دارد [۱۹]. میانگین شاخص ژلاتینی شدن رقم دم‌سیاه در محدوده ۳-۵ قرار دارد. با افزایش GT، چسبندگی دانه‌ها پس از پخت افزایش و دانه‌ها نرم‌تر می‌شوند [۲۳]. با خنک شدن نمونه‌ها در اثر کاهش درجه حرارت، AC قابل حل بیشتر درنتیجه V. Min به کمترین مقدار خود می‌رسد و مقدار فروریختگی (BD.V) افزایش می‌یابد [۲۴]. صفت BD.V، به عنوان یک خصوصیات مهم چسبندگی می‌تواند به عنوان یک شاخص مهم در بین سایر خواص چسبندگی برای ارزیابی کیفیت خوراک در نظر گرفته شود [۲۴]. برنج‌هایی با مقادیر V. BD بالاتر و V. SB پایین‌تر دارای کیفیت پخت بالاتری دارند [۲۶]. V. SB فاصله بین V. Min و چسبندگی نهایی است هرچه مقدار آن در یک رقم کمتر باشد نشان‌دهنده نرم شدن دانه‌ها پس از پخت شده و کیفیت مناسبی دارد [۲۵]. رقم دم‌سیاه دارای V. BD بالا و پس روی پایین‌تری دارد و دانه‌ها پس از پخت نرم و دارای کیفیت خوبی می‌باشند [۲۵].

۲.۳. نتایج کالیبراسیون و اعتبار سنجی

۲.۳.۱. ویژگی‌های طیف دانه‌های برنج

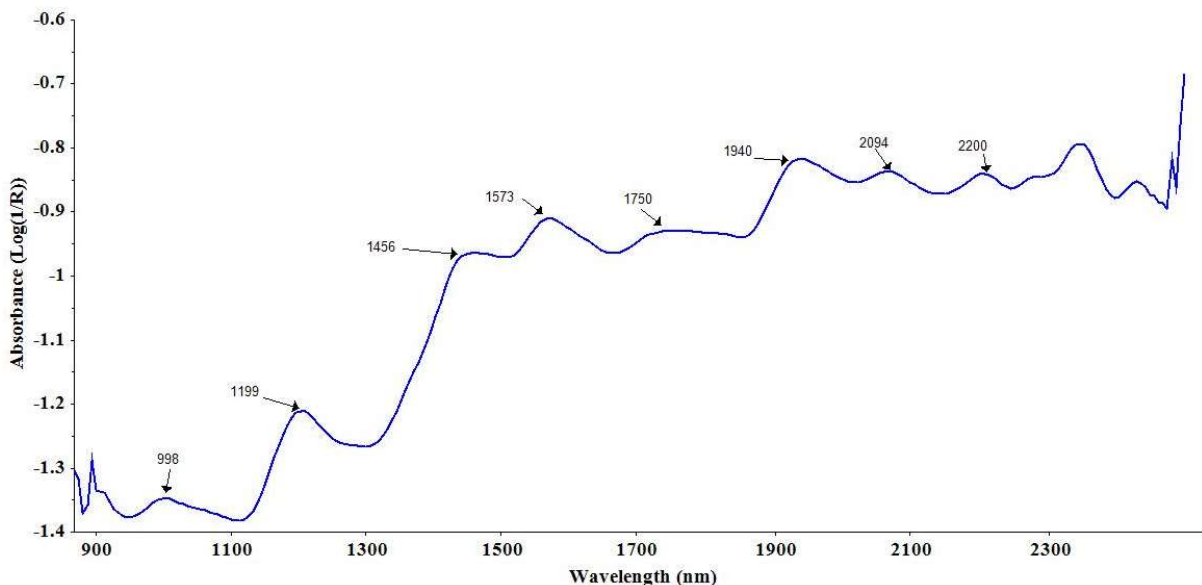
نمونه‌ای از طیف خام اولیه نمونه‌ها در دانه‌های برنج در محدوده

جدول (۱) تعداد نمونه، حداقل، حداقل، میانگین و انحراف معیار در دو دسته کالیبراسیون و اعتبار سنجی دانه برنج.

Table 1. Sample number, minimum, maximum, mean and standard deviation in two categories of calibration and validation of rice grain.

Parameter	واسنجی Calibration					اعتبار سنجی Validation				
	No	Min	Max	Mean	SD	No	Min	Max	Mean	SD
میزان آمیلوز (AC)	88	21.68	23.25	22.22	1.32	29	21.68	23.25	22.44	1.42
درجه حرارت ژلاتینی شدن (GT)	88	4.11	4.33	4.17	0.63	29	4.10	4.31	4.16	0.63
حداقل چسبندگی (Min.V)	88	152.35	170.46	164.96	15.57	29	151.35	171.46	162.24	17.56
پس روی چسبندگی (SB.V)	88	120.07	140.33	126.92	10.34	29	120.07	140.33	126.42	9.54

Amylose Content(AC), Gelatinization Temperature(GT), Minimum Viscosity(Min.V), Setback Viscosity(SB.V)



شکل (۲) طیف خام NIR دانه‌های برنج
Fig. 2. Raw spectrum NIR of rice grains

های کالیبراسیون با SDR بین ۰.۹۵ و ۱.۰ قابل استفاده و اعتماد هستند [۳۱]. عموماً مدلی از اعتبار مناسب برخوردار است که $R^2 \geq 0.7$ و $SDR < 2.5$ باشد [۳۲]. همچنین، مقادیر SDR بین ۰.۷۵-۰.۹ نشان‌دهنده این است که مدل رگرسیون PLS توانایی تشخیص مقادیر پایین صفت موردنظر را از مقادیر بالا دارد. و مقادیر بین ۰.۹۵-۰.۹۷ بیانگر این است که صفت موردنظر با دقت کمی پیش‌بینی می‌شود. مقادیر بالای ۰.۹۷ نشان‌دهنده دقت بالای پیش‌بینی صفت موردنظر است [۳۲].

اسبورونه گزارش کرد که طول موج ۱۵۲۸ و ۲۱۰۰ nm مسئول اصلی نشاسته برنج است. در این مطالعه، پیک‌های جذبی در اطراف طول‌موج‌های ۱۵۶۶ و ۲۱۰۰ nm را می‌توان به SB.V نسبت داد [۱۰]. پیک‌های جذبی در اطراف طول‌موج‌های ۱۵۲۷ و ۲۰۹۹ nm همبستگی بالایی با SB.V دارد [۱۴]. شکل به دست آمده از طریق NIR با پیک‌های جذبی در اطراف طول‌موج‌های ۱۴۶۶، ۱۹۳۴، ۲۱۰۴، ۲۲۸۸ و ۲۳۲۲ nm در ناحیه طیفی ۱۱۰۰-۲۵۰۰ nm برای آرد برنج [۱۳] مشابه شکل (۱) در این تحقیق هست. اسبورونه و همکاران گزارش کردند نشاسته در این تحقیق هست. اسبورونه و همکاران پیک‌های جذبی می‌دهند [۳۰]. در همین راستا، بائو و همکاران پیک‌های جذبی در اطراف طول‌موج‌های ۱۹۳۲ و ۲۲۹۲ nm را برای AC با ضریب تبیین ۰.۹۵ به دست آوردند [۵].

۲.۳.۳. مدل‌ها و نتایج PLS

نتایج کالیبراسیون و اعتبار سنجی مدل رگرسیون PLS بر پایه ترکیب روش‌های مختلف پیش‌پردازش طیف‌های NIR برای دانه برنج در جداول ۲ و ۳ نشان داده شده است. با توجه به این جدول‌ها، مقادیر شاخص‌های R^2 , RMSEC, SEC, R^2 , RMSECV, SECV SDR مدل‌های تدوین شده برای پیش‌بینی GT و AC نمونه‌های دانه برنج، بر پایه رگرسیون PLS به ترتیب با پیش‌پردازش‌های $R^2 = 0.93$, RMSEC = 0.17, $R^2 = 0.83$, $R^2 = 0.97$, RMSEC = 0.23, $R^2 = 0.96$, RMSECV = 0.27, $R^2 = 0.54$ به دست آمد. همچنین، مدل‌های تدوین شده برای پیش‌بینی SB.V و Min.V به ترتیب بر پایه بدون پیش‌پردازش با ۸ فاکتور با مقادیر $R^2 = 0.97$, RMSEC = 2.87, $R^2 = 0.90$, RMSECV = 4.92, SDR = 3.57 بدون پیش‌پردازش با ۸ فاکتور با مقادیر $R^2 = 0.94$, RMSEC = 3.95, $R^2 = 0.86$, RMSECV = 3.95, SDR = 2.42 بهترین تشخیص را دارا بودند. از بین تمام خواص کیفی تنها GT و SB.V از تشخیص نسبتاً کمی برخوردار بودند. زیرا شاخص $SDR < 2.5$ ولی بسیار نزدیک به ۰.۹۵ بوده و قابلیت اعتماد خوبی دارند. برای پیش‌بینی، مدل-

جدول (۲) نتایج واسنجی و پیش‌پردازش مدل PLS بر پایه ترکیب‌های مختلف پیش‌پردازش طیف‌های NIR برای تخمین خواص شیمیایی نمونه‌های دانه برنج.

Table 2. Results of calibration and pre-processing of the PLS model based on various pre-processing combinations of the NIR spectrum for the estimation of the chemical properties of rice grain samples.

پارامتر Parameter	پیش‌پردازش Pretreatment	فاکتور Factor	کالیبراسیون Calibration					اعتبار سنجی Validation			
			r_c	R^2_{cal}	RMSEC	SEC	r_p	R^2_{pre}	RMSECV	SECV	SDR
میزان آمیلوز	None	7	0.98	0.96	0.25	0.25	0.97	0.94	0.29	0.3	4.9
(AC)	SG+D ₁	7	0.98	0.96	0.25	0.25	0.97	0.94	0.30	0.3	4.9
	SG+D ₂	7	0.98	0.96	0.24	0.24	0.97	0.95	0.29	0.3	5
	SG+MSC*	8	0.98	0.97	0.23	0.24	0.98	0.96	0.27	0.27	5.4
	MA+D ₁	7	0.97	0.96	0.26	0.26	0.97	0.94	0.31	0.32	4.7
درجه حرارت ژلاتینه شدن	None	7	0.95	0.90	0.19	0.19	0.88	0.78	0.29	0.29	1.5
(GT)	SG+D ₁ *	8	0.96	0.93	0.16	0.17	0.91	0.83	0.26	0.26	2.4
	SG+D ₂	8	0.96	0.93	0.17	0.17	0.85	0.73	0.33	0.33	1.9
	SG+MSC	8	0.95	0.92	0.18	0.18	0.88	0.78	0.3	0.3	1.5
	MA+D ₁	8	0.95	0.91	0.19	0.19	0.88	0.78	0.29	0.29	2.2

*مقدادر پر رنگ نشان‌دهنده بهترین مدل تدوین شده (با توجه به معیارهای اعتبار سنجی) برای پیش‌بینی خواص شیمیایی در نمونه‌های دانه برنج است.

*The high color values represent the best-designed model (according to the validation criteria) to predict the chemical properties of rice grain samples.

Note: SG+D₁: Savitzky-Golay+First deviation, SG+D₂: Savitzky-Golay+Second deviation, SG+MSC: Savitzky-Golay+Multiplication scatter correction, MA+D₁: Moving average+ First deviation

r_c = correlation coefficient of calibration, r_p = correlation coefficient of prediction, R^2_{cal} = coefficient of determination for calibration, R^2_{pre} = coefficient of determination for prediction, SEC= standard error of calibration, SECV= standard error of cross-validation, RMSEC= root mean square error of calibration, RMSECV= root mean square error of cross validation, SDR= Standard deviation ratio, MSC= Multiplication scatter correction, MA=Moving Average, SG= Savitzky- Golay.

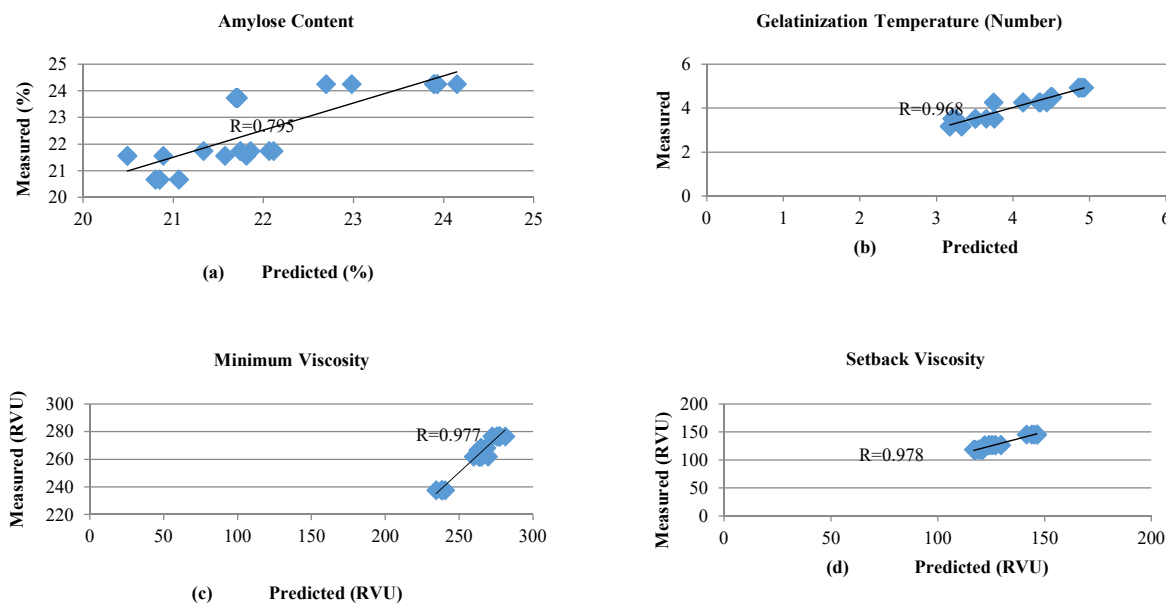
جدول (۳) نتایج واسنجی و پیش‌پردازش مدل PLS بر پایه ترکیب‌های مختلف پیش‌پردازش طیف‌های NIR برای تخمین خواص فیزیکوشیمیایی نمونه‌های دانه برنج.

Table 3. Results of calibration and pre-processing of the PLS model based on various pre-processing combinations of the NIR spectrum for the estimation of the physicochemical properties of rice grain samples.

پارامتر Parameter	پیش‌پردازش Pretreatment	فاکتور Factor	کالیبراسیون Calibration					اعتبار سنجی Validation			
			r_c	R^2_{cal}	RMSEC	SEC	r_p	R^2_{pre}	RMSECV	SECV	SDR
حداقل چسبندگی	None*	8	0.98	0.97	2.87	2.9	0.95	0.90	4.92	4.9	3.6
(Min. V)	SG+D ₁	8	0.98	0.96	3.03	3.1	0.95	0.90	4.91	4.9	3.5
	SG+D ₂	8	0.98	0.96	2.92	2.9	0.94	0.88	5.48	5.5	3.2
	SG+MSC	8	0.99	0.96	3.01	3	0.94	0.88	5.44	5.5	3.2
	MA+D ₁	8	0.97	0.95	3.48	3.5	0.94	0.89	5.20	0.23	3.4
پسروی چسبندگی	None*	8	0.97	0.94	2.57	2.6	0.92	0.86	3.95	3.9	2.4
(SB.V)	SG+D ₁	8	0.96	0.92	2.84	2.8	0.91	0.82	4.41	4.4	2.2
	SG+D ₂	8	0.95	0.92	3.03	3.1	0.88	0.78	4.85	4.9	1.9
	SG+MSC	8	0.96	0.93	2.79	2.8	0.90	0.81	4.59	4.6	2.1
	MA+D ₁	8	0.96	0.92	2.80	2.8	0.91	0.82	4.40	4.4	2.2

*مقدادر پر رنگ نشان‌دهنده بهترین مدل تدوین شده (با توجه به معیارهای اعتبار سنجی) برای پیش‌بینی خواص چسبندگی در نمونه‌های دانه برنج است.

*The high color values represent the best-designed model (according to the validation criteria) to predict the chemical properties of rice grain samples.



شکل (۳) (a) تا (b) نقاط پراکندگی مقادیر اندازه‌گیری شده و پیش‌بینی شده برای خواص شیمیایی و فیزیکوشیمیایی در نمونه‌های دانه برنج

Fig. 3. (a)-(d) Scatter plots of measured and predicted values of chemical and physicochemical properties by PLS model for validation set of rice grain samples

جدول (۴) معادلات رگرسیون خواص شیمیایی توسط مدل PLS برای مجموعه اعتبار سنجی در نمونه‌های برنج.

Table 4. Regression equations of chemical and physicochemical properties by PLS model for validation set of rice grain samples.

پارامتر Parameter	معادلات Equivalent	R^2
میزان آمیلوز Amylose Content	$Y=1.017x+0.162$	0.633
درجه حرارت ژلاتینه شدن Gelatinization Temperature	$Y=0.9584x+0.1986$	0.9366
حداقل چسبندگی Minimum Viscosity	$Y=0.9815x+5.0959$	0.9549
پس روی چسبندگی Setback Viscosity	$Y=0.9996x+0.1706$	0.9569

نمونه‌ای از اثر تعداد فاکتورها بر RMSE در شکل (۴) نشان داده شده است. مدل‌های رگرسیون تدوین شده با کمترین مقدار اختلاف آن با RMSECV و کمترین اختلاف آن با RMSECV بهترین نتایج پیش‌بینی مقادیر متغیرهای وابسته انجام شد.

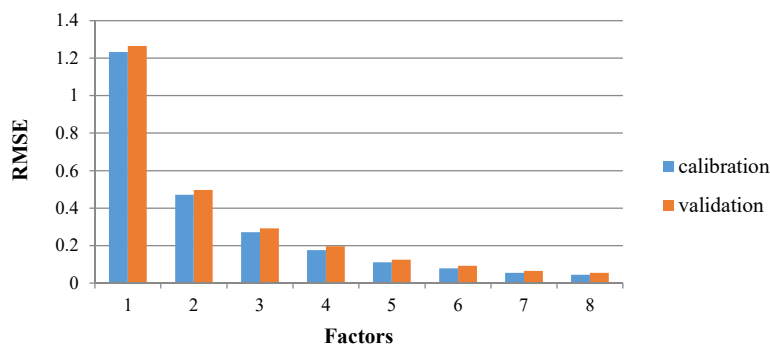
۴. نتیجه‌گیری

خواص کیفی برنج یکی از مهم‌ترین شاخص‌های مصرف‌کننده در خرید و فروش آن است. بدین ترتیب، پیش‌بینی غیرمخترب کیفیت از جمله؛ میزان آمیلوز، درجه حرارت ژلاتینه شدن، حداقل

شکل (۳) نقاط پراکندگی مقادیر پیش‌بینی شده و اندازه‌گیری شده خواص شیمیایی و فیزیکوشیمیایی نمونه‌های دانه برنج رقم دمسياه برای مجموعه اعتبار سنجی را نشان می‌دهد. معادلات رگرسیونی خواص شیمیایی و فیزیکوشیمیایی با مدل رگرسیون PLS و ضرایب تعیین در جدول شماره (۴) نشان داده شده است. نقاط پراکنده شده نزدیک خط هدف، نشان می‌دهد که NIRS می‌تواند خواص شیمیایی و فیزیکوشیمیایی را پیش‌بینی کند و یا مقادیر پیش‌بینی شده با مقادیر اندازه‌گیری همبستگی بالایی دارد. که این با نتایج به دست آمده [۱۴] مطابقت دارد.

پیش‌بینی خواص شیمیایی و چسبندگی دانه برنج به‌طور سریع، مناسب و مفید است. این نتیجه راه را برای توسعه استفاده از دستگاه‌های آزمون این محصول که مشابه آن در محصولات دیگر دانه‌ای مانند گندم استفاده می‌شود فراهم خواهد نمود.

چسبندگی و پسروی چسبندگی نمونه‌های دانه برنج در رقم دسمیاه با استفاده از NIRS مطالعه و دقت پیش‌بینی پارامترهای میزان آمیلوز، درجه حرارت ژلاتینه شدن، حداقل چسبندگی و پسروی چسبندگی به ترتیب 0.633 , 0.937 , 0.955 و 0.957 تخمین زده شد. بنابراین، این مطالعه با استفاده از NIRS برای



شکل (۴) نمودارهای RMSECV و RMSECV در هر فاکتور برای مدل PLS تدوین شده

بر پایه بدون پیش‌پردازش برای پیش‌بینی SB.V نمونه‌های دانه برنج دسمیاه

Fig. 4. RMSECV and RMSECV charts in each factor for the PLS model, based on no pre-processing, to predict SB.V Sample grain rice samples

[8] Wu, J., & Shi, C. (2004). Prediction of grain weight, brown rice weight and amylose content in single rice grains using near infrared reflectance spectroscopy. *Field Crop Res.*, 87, 13-21.

[9] Shuso, K., Motoyasu, N., Kazuhiro, T., & Kazuhiko, I. (2003). Developement of an automatic rice-quality inspection system. *Computers and Electronics in Agriculture*, 40, 115-126.

[10] Osborne, B. (2006). Application of near infrared spectroscopy in quality screening of early-generation material in cereal breeding programmes. *Journal of Near Infrared Spectroscopy*, 14, 93-101.

[11] Siriphollakul, P., Nakano, K., Kanlayanarat, S., Ohashi, S., Sakai, R., Rittiron, R., & Maniwara, P. (2017). Eating quality evaluation of KhaoDawk Mali 105 rice using near infrared spectroscopy. *LWT - Food Science and Technology*, 79, 70-77.

[12] Natsuga, M., & Kawamura, S. (2006). Visible and near-infrared reflectance spectroscopy for determining physicochemical properties of rice. *Transactions of the ASABE*, 49(4), 1069-1076.

[13] Chen, J., Miao, Y., Sato, S., & Zhang, H. (2008). Near infrared spectroscopy for determination of the protein composition of rice flour. *Food Science Technology Research*, 14(2), 132-138.

[14] Siriphollakul, P., Kanlayanarat, S., Rittiron, R., Wanitchang, J., Suwonsichon, T., Boonyaritthongchai,

مراجع

- Vithu, P., Tech, M., & Moses, J. (2016). Machine vision system for food grain quality evalution: A review. *Journal of Trends In Food Science & Technology*, 56, 13-20.
- Ferreira, A., Oliveira, J., Pathania, S., & Almeida, A. (2017). Rice quality profiling to classify germplasm in breeding programs. *Journal of Cereal Science*, 76, 17-27.
- Hasjim, J., Li, E., & Dhital, S. (2013). Milling of rice grains: Effects of starch flour structures on gelatinization and pasting properties. *Carbohydr. Polym.*, 92, 682-690.
- Collado, L., Mabesa, R., & Corke, H. (1999). Genetic variation in the physical properties of sweet potato starch. *J. Agric. Food Chem.*, 47, 4195-4201.
- Bao, J., Wang, Y., & Shen, Y. (2007). Determination of apparent amylose content, pasting properties and gel texture of rice starch by near-infrared spectroscopy. *Journal of the Science of Food and Agriculture*, 87, 2040-2048.
- Guoquan, L., Huahong, H., & Dapeng, Z. (2006). Prediction of sweet potato starch physiochemical quality and pasting properties using near-infrared reflectance spectroscopy. *Food Chem.*, 94, 632-639.
- Bao, J., Cai, Y., & Corke, H. (2001). Prediction of rice starch quality parameters by near-infrared reflectance spectroscopy. *Journal of Food Science*, 66, 936-939.

- foodstuffs. In Y. Ozaki, W.F. McClure, A.A. Christy (Eds.) Nearinfrared Spectroscopy in food Science and Technology*, Hoboken: Wiley-Interscience, PP 279-340.
- [29] Cen, H., & He, Y. (2007). Theory and application of near infrared reflectance spectroscopy in determination of food quality. *Trends in Food Science & Technology*, 18(2), 72-83.
- [30] Osborne, B., Fearn, T., & Hindle, P. (1993). *Practical NIR Spectroscopy with applications in Food and Beverage Analysis*. Harlow: Longman Scientific & Technical.
- [31] Fearn, T. (2002). Assessing calibrations: SEP, RPD, RER and R^2 . *NIR News.*, 13, 12-14.
- [32] Nicolai, B., Beullens, K., Bobelyn, E., Peirs, A., Saeys, W., Theron, K., Lammertyn, J. (2007). Nondestructive measurement of fruit and vegetable quality by means of NIR spectroscopy: A review. *Postharvest Biology and Technology*, 46, 99-118.
- P., & Nakano, K. (2015). Pasting properties by near-infrared reflectance analysis of whole grain paddy rice samples. *Journal of Innovative Optical Health Science*, 8(6), 1-8.
- [15] Rash, J., & Meullent, J.-F. (2010). Apparent Amylose Content Prediction using Near Infrared Spectroscopy of Individual and Bulk Rice Kernels. *Rice Quality and Processing*, 591, 312-321.
- [16] Arora, V., Henderson, S., & Burkhardt, T. (1973). Rice drying cracking versus thermal and mechanical properties. *Transactions of the ASAE*, 16(2), 320-327.
- [17] Juliano, B. (1971). A simplified assay for milled rice amylose. *Cereal Science Today*, 16, 334-360.
- [18] Little, R., Hilder, G., & Dawson, E. 1958. Differential effect of dilute alkali on 25 varieties of milled white rice. *Cereal Chem.*, 35, 111-126.
- [19] Kesarwani, A., Chiang, P., & Chen, S. (2016). Rapid Visco Analyzer Measurements of japonica Rice Cultivars to Study Interrelationship between Pasting Properties and Farming System. *International Journal of Agronomy*, 3595326, 1-6.
- [20] Savitzky, A., & Golay, M. (1964). Smoothing and differentiation of data by simplified least squares procedures. *Anal. Chem.*, 36, 1627-1638.
- [21] Hassan, H., Fan, M., Zhang, T., & Yang, K. (2013). Prediction of Total Phenolics and Flavonoids Contents in Chinese Wild Rice (*Zizaniatilifolia*) Using FT-NIR Spectroscopy. *American Journal of Food Technology*, 10(3), 109-117.
- [22] Cagampang, G. (1973). A gel consistency test for eating quality of rice. *Journal Sci. Food and Agric.*, 24(12), 1589-94.
- [23] Mestres, C., Ribeyre, F., Pons, B., Fallet, V., & Matencio, F. (2011). Sensory texture of cooked rice is rather linked to chemical than to physical characteristics of raw grain. *Journal of Cereal Science*, 53, 81-89.
- [24] Tester, R. F., & Morrison, W. R. (1990). Swelling and gelatinization of cereal starches II. Waxy rice starches. *Cereal Chem.*, 67, 558-563.
- [25] Allahgholipour, M., Ali, A., Alinia, F., Nagamine, T., & Kojima, Y. (2006). Relationship between rice grain amylose and pasting properties for breeding better quality rice varieties. *Plant Breed.*, 125, 357-362.
- [26] Asante, M., Offei, S., Gracen, V., Adu-Dapaah, H., Danquah, E., Bryant, R., & et al. (2013). Starch physicochemical properties of rice accessions and their association with molecular markers. *Starch Starke*, 65, 1022-1028.
- [27] Huang, H., Yu, H., Xu, H., & Ying, Y. (2008). Near infrared spectroscopy for on/in-line monitoring of quality in foods and beverages: a review. *J. Food Eng.*, 87, 303-313.
- [28] Osborne, B., Kays, S., Barton, F., Cozzolino, D., Giangiocomo, R., & Cattaneo, T. (2006). *Applications to*

Research Article**Prediction of some chemical and physicochemical properties of white rice grain samples using near-infrared spectroscopy (NIRS) analysis**

Nasrollah Fazeli Bourestan¹, Amir Hossein Afkari Sayyah^{2*}, Ebrahim Taghinezhad³, Mahdi Safi⁴

1. Ph.D. candidate, Department of Biosystems Engineering, Faculty of Agricultural Technology and Natural Resources, University of Mohaghegh Ardabili, Ardabil, Iran.
2. Associate Professor, Department of Biosystems Engineering, Faculty of Agricultural Technology and Natural Resources, University of Mohaghegh Ardabili, Ardabil, Iran.
3. Assistant Professor, Faculty of Agricultural Technology and Natural Resources Moghan, University of Mohaghegh Ardabili, Parsabad, Iran.
4. Assistant Professor, Research Institute of Color Science and Technology, Tehran, Iran.

Abstract

Chemical and physicochemical properties are very important factors in determining the characteristics of rice cooking and processing. According to this study, it was possible to predict the amylose content, gelatinization temperature, minimum and setback viscosity from 120 samples of rice grains (*Domsiah* variety), carried out using near-infrared spectroscopy (NIRS) in the electromagnetic region of 800-2500 nm. Calibration models were developed by partial least squares regression (PLS). The parameters of AC, GT, Min.V and SB.V with SG + MSC, SG + D1, none pre-processing and none pre-processing preprocessing, was obtained with calibration R^2 ; 0.97, 0.95, 0.97 & 0.94 and validation R^2 ; 0.95, 0.83, 0.90 & 0.86, respectively. The RMSECV for these parameters was 0.27, 0.26, 4.92 & 3.95, respectively. The validity of each calibration models was statistically evaluated. Based on the results of this research, Using NIRS is useful for estimating chemical and physicochemical properties of rice grain samples and is a quick method for its quality prediction.

Keywords: Rice, Spectrometry NIR, Minimum viscosity, Amylose content.

* Corresponding author: ahafkari@uma.ac.ir